

## 7.26 Метод продолжения в краевых задачах

Рассмотрим краевую задачу

$$\dot{x} = f(t, x), \quad R(x(a), x(b)) = 0, \quad a \leq t \leq b, \quad x \in E^n. \quad (1)$$

Здесь  $f(t, x) : E^1 \times E^n \mapsto E^n$ ,  $R(x, y) : E^n \times E^n \mapsto E^n$  являются гладкими векторными функциями. Предполагая существование решения краевой задачи (1), обсудим алгоритмические вопросы поиска её решения. Решение краевой задачи можно свести к некоторому нелинейному векторному уравнению в  $E^n$ . Выберем некоторую точку  $t_* \in [a, b]$  и рассмотрим задачу Коши

$$\dot{x} = f(t, x), \quad x|_{t=t_*} = p \in E^n. \quad (2)$$

Свобода выбора точки  $t_*$  может быть полезна для вычислительной практики. Пусть

$$x(t, p), \quad a \leq t \leq b. \quad (3)$$

— решение задачи Коши (2). Предполагается продолжимость решения (3) на весь отрезок  $[a, b]$  для любого  $p$ . Начальное значение параметра  $p \in E^n$  ищется из условий выполнения векторного граничного условия в задаче (1), т.е. искомое  $p$  является решением уравнения

$$\Phi(p) \equiv R(x(a, p), x(b, p)) = 0. \quad (4)$$

Итак, краевая задача (1) сведена к конечному векторному уравнению (4). Далее к уравнению (4) применяется метод продолжения, описанный в разделе 7.25. Матрица  $\Phi'(p)$  определяется равенством

$$\Phi'(p) = R'_x \frac{\partial x(a, p)}{\partial p} + R'_y \frac{\partial x(b, p)}{\partial p}.$$

Здесь  $(n \times n)$ -матрицы  $R'_x(x, y)$ ,  $R'_y(x, y)$  вычисляются вдоль решения (3), т.е. при  $x = x(a, p)$ ,  $y = x(b, p)$ . Введём обозначение

$$X(t, p) \equiv \frac{\partial x(t, p)}{\partial p}$$

для  $(n \times n)$ -матрицы производных решения (3) по начальному условию. Матрица  $X(t, p)$  определяется дифференциальным уравнением в вариациях

$$\dot{X} = AX, \quad X|_{t=t_*} = I, \quad a \leq t \leq b,$$

где  $A = A(t, p) \equiv f'_x(t, x)|_{x=x(t, p)}$  есть  $(n \times n)$ -матрица,  $I$  — единичная матрица. Основная задача Коши схемы продолжения по параметру имеет вид

$$\mathbf{IVP} : \quad \frac{dp}{d\mu} = -[\Phi'(p)]^{-1} \Phi(p_0), \quad p(0) = p_0, \quad 0 \leq \mu \leq 1, \quad (5)$$

где

$$\begin{aligned} \Phi(p) &= R(x(a, p), x(b, p)), \\ \Phi'(p) &= R'_x(x(a, p), x(b, p))X(a, p) + R'_y(x(a, p), x(b, p))X(b, p). \end{aligned}$$

Для одновременного вычисления векторной функции  $x(t, p)$  и матричной функции  $X(t, p)$  может быть записана следующая векторно-матричная задача Коши

$$\begin{cases} \dot{x} = f(t, x), & x|_{t=t_*} = p, \\ \dot{X} = f'_x(t, x)X, & X|_{t=t_*} = I, \quad a \leq t \leq b. \end{cases} \quad (6)$$

Задачу Коши (5) будем называть *внешней задачей*, задачу Коши (6) — *внутренней задачей*. Таким образом, предлагается итерационный процесс (10) для решения рассматриваемой краевой задачи (1) на основе внешней задачи (5) и внутренней задачи (6). На одном шаге итерационного процесса выполняется решение внешней задачи (5), в ходе решения которой происходит многократное обращение к решению внутренней задачи Коши (6) при различных значениях параметра  $p$ . Описанная схема применялась при разработке программы BVP в среде Maple для численного решения краевой задачи (1). При формировании матриц  $f'_x$ ,  $R'_x$ ,  $R'_y$  привлекаются возможности среды по выполнению аналитических вычислений.

Краевая задача принципа максимума Понтрягина может содержать разрывные или негладкие функции, например, функции *сигнатуры* (sign), *насыщения* (sat), *мёртвой зоны* (dez), и т.д. Поэтому описанный подход для решения гладких краевых задач, как правило, не может быть использован непосредственно в краевых задачах принципа максимума. Ещё одна веская причина для сглаживания заключается в том, что в задачах с управлениями *релейного типа* (bang-bang) обращаемая матрица может оказаться вырожденной в некоторых областях, а при сглаживании можно добиться невырожденности соответствующих матриц, поэтому оправдана предварительная работа по

сглаживанию краевой задачи принципа максимума. Некоторые методы сглаживания задач управления описаны в [7], [15]-[19], [21], [23], [31]. Эти процедуры сглаживания связаны с изменением размерности управления. Регуляризация задачи иногда достигается без изменения размерности управления. Простые формулы сглаживания приводятся ниже.

Функция *сигнатуры*  $\text{sign}(s)$  может быть приближена гладкими функциями

$$\begin{aligned}\text{SGN1}(s, \nu) &= \frac{s}{\sqrt{\nu + s^2}}, \\ \text{SGN2}(s, \nu) &= \text{th}\left(\frac{s}{\nu}\right), \\ \text{SGN3}(s, \nu) &= \frac{2}{\pi} \arctg\left(\frac{s}{\nu}\right).\end{aligned}$$

Функция *насыщения* и функция *мёртвой зоны*

$$\text{sat}(s) = \begin{cases} s, & |s| \leq 1, \\ \text{sign}(s), & |s| > 1, \end{cases} \quad \text{dez}(s) = \begin{cases} 0, & |s| < 1, \\ \text{sign}(s), & |s| > 1, \end{cases}$$

соответственно, аппроксимируются следующими функциями

$$\begin{aligned}\text{SAT}(s, \nu) &= \frac{1}{2} \left( \sqrt{\nu + (s+1)^2} - \sqrt{\nu + (s-1)^2} \right), \\ \text{DEZ}(s, \nu) &= \frac{1}{2} \left( \frac{s+1}{\sqrt{\nu + (s+1)^2}} + \frac{s-1}{\sqrt{\nu + (s-1)^2}} \right).\end{aligned}$$

Параметр сглаживания  $\nu$  является некоторым малым положительным числом. Соответствующие формулы сглаживания для экстремальных управлений при применении принципа максимума [1], могут быть получены в результате подходящего “малого” возмущения функционала.

Рассмотрим несколько примеров.

**Пример 26.1** (*краевая задача двух тел* [26]):

$$\begin{cases} \ddot{x} = -\frac{x}{(x^2 + y^2)^{3/2}}, & x(0) = a_1, \quad x(T) = b_1, \\ \ddot{y} = -\frac{y}{(x^2 + y^2)^{3/2}}, & y(0) = a_2, \quad y(T) = b_2. \end{cases}$$

Эта краевая задача переписывается в виде:

$$\begin{cases} \dot{x}_1 = x_3, & x_1(0) = a_1, \quad x_1(T) = b_1, \\ \dot{x}_2 = x_4, & x_2(0) = a_2, \quad x_2(T) = b_2, \\ \dot{x}_3 = -x_1(x_1^2 + x_2^2)^{-3/2}, \\ \dot{x}_4 = -x_2(x_1^2 + x_2^2)^{-3/2}. \end{cases}$$

Для данных

$$T = 7, \quad a_1 = 2, a_2 = 0, \quad b_1 = 1.0738644361, b_2 = -1.0995343576,$$

при выборе параметра  $t_* = 0$ , для начальных приближений

$$p_01 = [2, 0, -0.5, 0.5] \quad \text{и} \quad p_02 = [2, 0, 0.5, -0.5],$$

получены два разных решения со следующими векторами начальных условий в момент времени  $t_*$ :

$$\text{ans1} = [2., 0., 0.0000004834, 0.5000000745] \quad \text{и} \quad \text{ans2} = [2., 0., 0.4510782034, -0.2994186665].$$

Соответствующие траектории **1** и **2** системы (с начальной точкой  $S$  и конечной точкой  $F$ ) в плоскости  $x_1x_2$  показаны на рисунке 26.1. Здесь и в следующих примерах для решения задачи Коши использовался метод Рунге – Кутты – Фельберга (rkf-45). Выбранная точность: для решения внешней задачи  $10^{-4}$ , для решения внутренней задачи  $10^{-6}$ . Число итераций 3.

**Пример 26.2** (*предельные циклы в системе Эквейлера [30]*):

$$\begin{cases} \dot{x}_1 = x_2, \\ \dot{x}_2 = -x_1 + \sin(x_2). \end{cases}$$

Эта система имеет счётное множество предельных циклов. Некоторые из них вычисляются вместе с неизвестными периодами  $T$ . Выбор различных начальных векторов  $p_0$  позволяет находить различные предельные циклы. Поиск предельного цикла сводится к краевой задаче:

$$\begin{cases} \dot{x}_1 = x_3x_2, & x_1(0) = x_4(0), \quad x_1(1) = x_4(1), \\ \dot{x}_2 = x_3(-x_1 + \sin(x_2)), & x_2(0) = 0, \quad x_2(1) = 0, \\ \dot{x}_3 = 0, \\ \dot{x}_4 = 0. \end{cases}$$

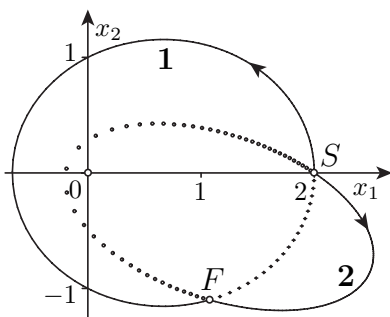


Рисунок 26.1

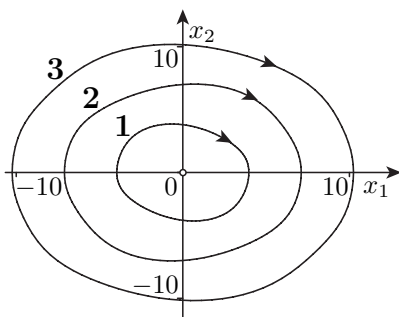


Рисунок 26.2

Здесь введены две вспомогательные переменные:  $x_3 = T$  – период, и  $x_4 = x_1(0)$  – абсцисса точки пересечения предельного цикла с осью  $x_1$ . Выбирая точку  $t_* = 0$ , для начальных векторов

$$p_{01} = [2, 0, 2\pi, 2], \quad p_{02} = [6.5, 0, 2\pi, 6.5], \quad p_{03} = [9, 0, 2\pi, 9]$$

получены следующие векторы начальных условий в момент времени  $t_*$ :

$$\begin{aligned} \text{ans1} &= [3.9655467678, 0, 6.4661401325, 3.9655467678], \\ \text{ans2} &= [7.1078664573, 0, 6.3387892836, 7.1078664573], \\ \text{ans3} &= [10.2456910360, 0, 6.3101121791, 10.2456910360]. \end{aligned}$$

Соответствующие предельные циклы **1**, **2**, **3** показаны на рисунке 26.2.

**Пример 26.3** (функционал типа “энергия” для трёхкратного интегратора) .

Рассмотрим задачу управления

$$\begin{cases} \dot{x}_1 = x_2, & x_1(0) = 1, & x_1(T) = 0, \\ \dot{x}_2 = x_3, & x_2(0) = 0, & x_2(T) = 0, \\ \dot{x}_3 = u, & x_3(0) = 0, & x_3(T) = 0, \\ |u| \leq 1, & T = 3.275, & L = \frac{1}{2} \int_0^T u(t)^2 dt \rightarrow \min_{u(\cdot)}. \end{cases} \quad (7)$$

Для задачи управления в  $E^n$

$$\begin{cases} \dot{x} = Ax + bu, & x(0) = x_0, \quad x(T) = 0, \\ |u| \leq 1, \quad T > 0 - \text{задано}, & L(u) = \frac{1}{2} \int_0^T u^2 dt \rightarrow \min_{u(\cdot)}, \end{cases}$$

с одномерным ограниченным управлением краевая задача принципа максимума имеет вид

$$\begin{cases} \dot{x} = Ax + b \cdot \text{sat}(b^* \psi), & x(0) = x_0, \quad x(T) = 0, \\ \dot{\psi} = -A^* \psi, \end{cases}$$

а в частном случае (7), при сглаженной функции *насыщения*, — вид системы уравнений

$$\begin{cases} \dot{x}_1 = x_2, & \dot{x}_2 = x_3, & \dot{x}_3 = \frac{1}{2} \left( \sqrt{\nu + (x_6 + 1)^2} - \sqrt{\nu + (x_6 - 1)^2} \right), \\ \dot{x}_4 = 0, & \dot{x}_5 = -x_4, & \dot{x}_6 = -x_5 \end{cases}$$

с граничными условиями из (7). Эта краевая задача решена программой BVP ( $t_* = T$ ,  $\nu = 10^{-10}$ ) с вектором начальных значений  $p$  в момент  $t_*$ :

$$\text{ans} = [0, 0, 0, -2.9850435834, 4.8880088678, -2.9083874537].$$

Зависимость оптимальных фазовых переменных и управления от  $t$  показана на рисунках 26.3, 26.4.

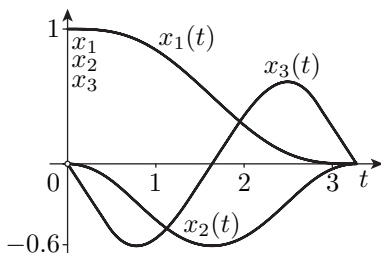


Рисунок 26.3

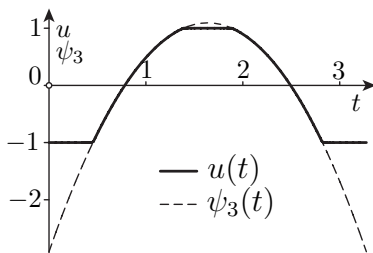


Рисунок 26.4

**Пример 26.4** (Задача быстрогодействия с областью управления в форме лунки [23]).

Сглаживание негладкой области управления  $U$ , т.е. построение её гладкой выпуклой аппроксимации  $U_\mu$ , предполагает конструктивное описание опорной функции сглаженного<sup>7</sup> множества  $U_\mu$ . Рассмотрим

<sup>7</sup>Для множеств  $U$ , представимых в виде алгебраической суммы, выпуклой оболочки объединения множеств с известной гладкой выпуклой аппроксимацией, задача сглаживания решается конструктивно, см. [21]. Труднее работать с множествами  $U$ , заданными в форме пересечения нескольких множеств или в виде геометрической разности, см. [23], [31]. Пример сглаживания лунки дан ниже.

задачу быстрогодействия с областью управления  $U$  в форме лунки:

$$\begin{cases} \dot{x}_1 = x_2 + u_1, & x_1(0) = a_1, & x_1(T) = 0, \\ \dot{x}_2 = -\beta x_1 - \alpha x_2 + u_2, & x_2(0) = a_2, & x_2(T) = 0, \\ u = (u_1, u_2) \in U = S_{\sqrt{2}}((+1, 0)) \cap S_{\sqrt{2}}((-1, 0)), \\ \alpha = 0.25, \beta = 1.5, a_1 = 4, a_2 = 1. \end{cases}$$

Сглаженная лунка  $U_\mu$  ( $\mu > 0$  — малый параметр) задаётся опорной функцией, см. [23],

$$c(U_\mu, \psi) = \left( \sqrt{2(q_1^2 + q_2^2)} - \sqrt{q_1^2} \right) \Big|_{q_1=q_1(\psi), q_2=q_2(\psi)},$$

где  $q_1(\psi) = \frac{1}{2} \left( \sqrt{\mu \|\psi\|^2 + (\psi_1 + \psi_2)^2} + \sqrt{\mu \|\psi\|^2 + (\psi_1 - \psi_2)^2} \right).$

Краевая задача принципа максимума сглаженной задачи управления, в безразмерном времени, состоит из пяти скалярных дифференциальных уравнений:

$$\begin{cases} \dot{x}_1 = T(x_2 + c'_{\psi_1}(U_\mu, \psi)), & x_1(0) = a_1, & x_1(1) = 0, \\ \dot{x}_2 = T(-\beta x_1 - \alpha x_2 + c'_{\psi_2}(U_\mu, \psi)), & x_2(0) = a_2, & x_2(1) = 0, \\ \dot{\psi} = -T A^* \psi, & \psi_1^2(1) + \psi_2^2(1) = 1, \\ \dot{T} = 0, \quad 0 \leq t \leq 1, & A = \begin{pmatrix} 0 & 1 \\ -\beta & -\alpha \end{pmatrix}, & \psi = \begin{pmatrix} \psi_1 \\ \psi_2 \end{pmatrix}. \end{cases}$$

Решение краевой задачи при малых  $\mu$  даёт приближения к оптимальному процессу. На рисунке 26.5 показаны графики управлений  $u_1(t)$ ,  $u_2(t)$ ,  $\mu = 10^{-6}$ , на рисунке 26.6 — графики  $u_1(t)$  для трёх значений  $\mu = 1, 10^{-1}, 10^{-6}$ . Вычисления выполнены с помощью упомянутой выше программы BVP.

**Пример 26.5** (задача быстрогодействия):

$$\begin{cases} \ddot{x} + \alpha \dot{x} + \beta x = u, & x \in E^m, u \in U \subset E^m, \quad \alpha, \beta \in E^{m \times m}, \\ x(0) = a_0, \dot{x}(0) = b_0, & x(T) = a_1, \dot{x}(T) = b_1, \quad T \rightarrow \min. \end{cases}$$

При  $m = 2$  область управления  $U$  — лунка, при  $m = 3$  — тело, полученное вращением лунки вокруг её вертикальной оси. Краевая задача принципа максимума содержит  $4m + 1$  уравнений. Область управления конструктивно сглаживается до телесного выпуклого компакта в пространстве  $E^{2m}$ .

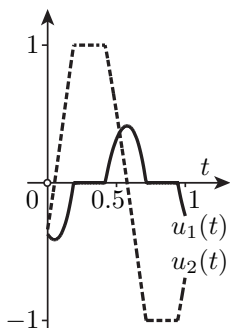


Рисунок 26.5

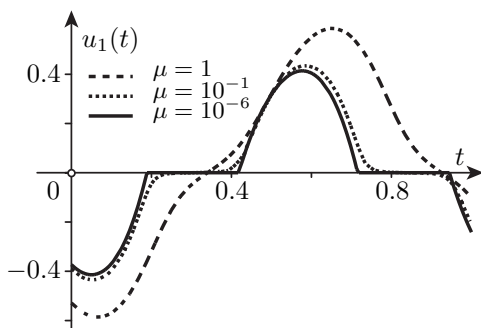


Рисунок 26.6

Сделаем несколько важных замечаний. Если в краевой задаче (1) краевые условия содержат задание нескольких неизвестных функций  $x_1(a) = x_{10}, \dots, x_k(a) = x_{k0}, 1 \leq k \leq n-1$ , то, при выборе  $t_* = a$ , порядок внешней задачи можно понизить до  $n-k$ , полагая  $p = (x_{k+1}(a), \dots, x_n(a))$ , что является существенным при решении краевых задач принципа максимума, в которых фазовая переменная задана в начальный момент времени, а в роли искомого вектора  $p$  выступает неизвестное начальное значение сопряжённой переменной. Описанная схема применима и для многоточечных краевых задач. Другие примеры расчётов см. в [32].